

九州大学工学部 正員 ○林 重徳  
〃 〃 〃 山内 豊聰

### 1.はじめに

Coulombが、いわゆる摩擦の法則を提案(1785年)<sup>1)</sup>して、ほぼ200年に亘る。この間、土質工学は飛躍的な進歩をとげたが、今日を土質力学におけるせん断定数( $C, \phi$ )は重要な意味を有する。このせん断定数( $C, \phi$ )はひずみを全く無視した立場から決定されてはいるが、土があつて強さを發揮するためには、相当のひずみが必要である。せん断定数が変形とともに、どのような過程を経て発揮されていくのかを解明することは、土の応力・変形特性を完明する意味からも、また変形から破壊にいたる問題を統一的に解析するためにも、極めて重要なことであろう。

筆者は以前に、軸ひずみ( $E_a$ )をパラメータとして、等ひずみ( $E_a$ )包絡線を描き、軸ひずみに伴う( $C, \phi$ )の動的過程を明らかにした。今日は三軸圧縮試験において、せん断ひずみ( $\gamma$ )に着目し、等ひずみ( $\gamma$ )包絡線と、せん断ひずみの増加に伴う( $C, \phi$ )のモビライジングプロセスを明らかにする。

### 2. 試料と試験結果

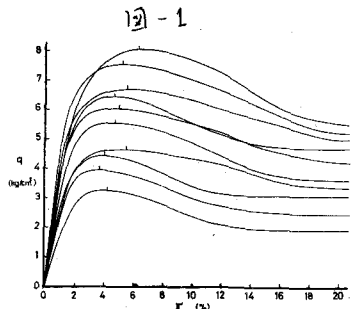
試料には、福岡市城原産のマサ土、同市香椎産の赤土、および豊浦標準砂を用いた。赤土では、マサ土についてのみ報告する。マサ土は砂分58%、シルト分24%、粘土分18%、比重2.64、塑性指数11、最大含水比13.5%、最大乾燥密度1.82 g/cm<sup>3</sup>である。供試体は、Φ5 cmモールド内に、所定のエネルギーに沿うよう、特製ランマーで密固め作製した。平均含水比12.6%、平均乾燥密度1.72 g/cm<sup>3</sup>であった。試験条件は非圧密非排水(気)状態である。軸ひずみの速度は0.5%/minとした。試験結果の一例を図-1に示す。横座標はせん断ひずみ( $\gamma$ )でプロットしてある。また本文中で用いた記号は次の通りである。ひずみは圧縮を正とした。

$$\begin{cases} \sigma_a : \text{軸方向応力}, & \left\{ \begin{array}{l} p = \frac{1}{3}(\sigma_a + 2\sigma_r) : \text{平均主応力}, \\ \sigma_r : \text{側面応力}, \quad f = (\sigma_a - \sigma_r) : \text{せん断応力(軸差応力)}, \end{array} \right. \\ E_a : \text{軸方向ひずみ}, \quad \left\{ \begin{array}{l} E_r = (E_a + 2E_r) : \text{体積ひずみ}, \\ E_r : \text{側面ひずみ}, \quad \gamma = (E_a - E_r) : \text{せん断ひずみ}. \end{array} \right. \end{cases}$$

### 3. 考察

#### 3.1. $\gamma - E_a$ 図と $\gamma - \gamma$ 図

図-1は一般的な表示法である軸差応力と軸ひずみの関係曲線( $\gamma - E_a$ 図)と、せん断応力とせん断ひずみの関係曲線( $\gamma - \gamma$ 図)を比較すると、ピーコフの分布に特徴がある。すなはち、 $\gamma - E_a$ 曲線では側圧( $\sigma_r$ )が小さい場合、ピーコフは  $E_a = 2\gamma$  程度で生じてはいるのに比べ、側圧が大きくなるにつれて、ピーコフを生じる軸ひずみは大きくなる。はっきりした傾向を示してはいるが、 $\gamma - \gamma$ 図では、この傾向は弱まり、ほぼ等しい程の所でピーコフを生じるようになるようである。 $E_r$ や  $\gamma$ の求め方が改善されれば、より範囲は更に小さくなりうるものと考えられる。このことは重要である。すなはち、 $\gamma - E_a$ 曲線では、 $E_a$ が同じ値でも、側圧に依るところのはピーコフ強度以下の状態にあり、すなはち力的にはピーコフとすぐれた状態になってしまってはいる。一方、 $\gamma - \gamma$ 曲線で表示してやれば、側圧( $\sigma_r$ )に關係なく、 $\gamma$ による、一義的に供試体の状態をとらえることができると思われる。後に述べる等せん断ひずみ包絡線の方が等軸ひずみ包絡線より妥当性が高いことを示唆していると言えよう。



### 3.2. 等せん断ひずみ線

せん断ひずみがある値 ( $\gamma = 0.5, 1.0, \dots, 20.0\%$ ) に達したときの応力点  $(P, q)$  をプロットしたものが図-2 および図-3 である。

各せん断ひずみでの応力点群はほぼ直線で近似できることが理解される。即ち等せん断ひずみ包絡線 ( $\gamma$ -strain envelope) の存在である。

また龍岡は、等せん断ひずみ線(曲線を想定)上には、等方応力状態からせん断した場合であれば、その応力経路や試験の種類(三軸圧縮又は伸張)によらず、オイ近似的統一的に分布すると報告しており、等せん断ひずみ線は土の変形特性を解明する上で重要な意味をもつと思われる。

### 3.3 土のせん断定数のモビライジングプロセス

等せん断ひずみ線と  $(P, q)$  座標でプロットし、C および  $\tan \phi$  を求めたものが図-4 である。

一方、図-5 は T.W. Lambe が粘土に関する徴観的考察から推定したせん断抵抗成分のモビライジングプロセスである。<sup>5)</sup>

図-5 に比べ、図-4 は摩擦成分の立ち上がりが早いが、Dilatancy + Interference の結果が、C,  $\phi$  についての成分にどの程度寄与するかは明らかではない等の点を考えると、図-4 と図-5 は比較的良好な類似傾向を示していると言えよう。

### 4. おわりに

以上の点をまとめると、次のとおりである。

- (1) 三軸圧縮試験の結果は、 $q - \sigma_a$  関係よりか  $q - \gamma$  関係で表す方がより妥当であると思われる。
- (2) 土のせん断ひずみでの応力点群  $[(P, q) \text{ or } (\gamma, q)]$  は三軸圧縮伸張で試験の種類や応力経路によらず、統一的に等せん断ひずみ線上に乗る。
- (3) この等せん断ひずみ線は、普通の応力範囲では、クーロン則と同様直線近似が可能である。
- (4) 等せん断ひずみ線より、せん断定数 ( $C, \phi$ ) のモビライジングプロセスを明らかにすることができる。

### 文献

- 1) 曾田範宗著：摩擦の話。岩波新書。
- 2) 木内、内田：土の応力・変形特性について—三軸圧縮試験結果から—考察一。1976年2月  
工学会函授部第3部第3回講演会  
第9回国工学会研究発表会講演概要。
- 3) " " " (第2報)
- 4) 龍岡文夫：砂の三軸圧縮・伸張試験—主として応力経路に関して—
- 5) Lambe, T.W.: A Mechanistic Picture of Shear Strength in Clay  
proc. ASCE. 1960.

図-2

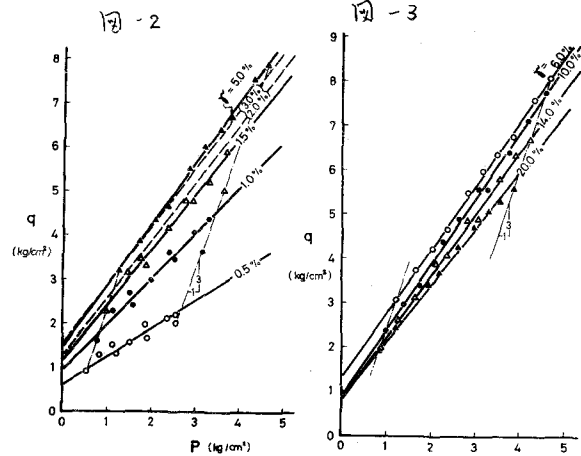


図-3

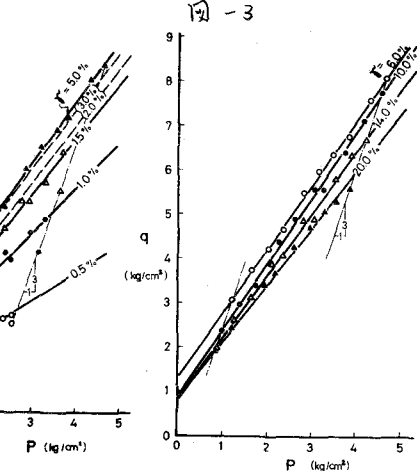


図-4.

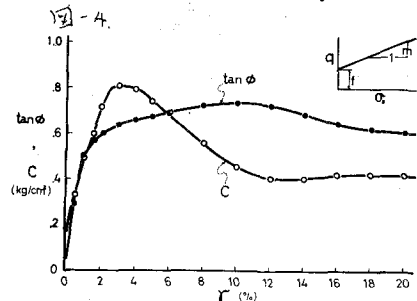
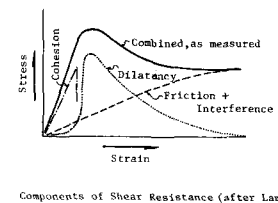


図-5



Components of Shear Resistance (after Lambe)